МЕТОДЫ КВАНТОВОЙ ХИМИИ В ПРИМЕНЕНИИ К ИССЛЕДОВАНИЮ МОЛЕКУЛЯРНЫХ МАГНИТНЫХ МАТЕРИАЛОВ

Алексей Анатольевич Дмитриев Институт Химической Кинетики и Горения

Содержание

1. Методы квантовой химии

- > Уравнение Шредингера
- Приближение Борна-Оппенгеймера
- Вариационный метод Ритца
- > Одноэлектронное приближение
- Решение уравнений Хартри-Фока
- Метод Харти-Фока-Рутана
- Пост-Хартри-Фоковсие методы
- Теория функционала плотности
- Теоремы Хоэнберга-Кона
- Уравнения Кона-Шема

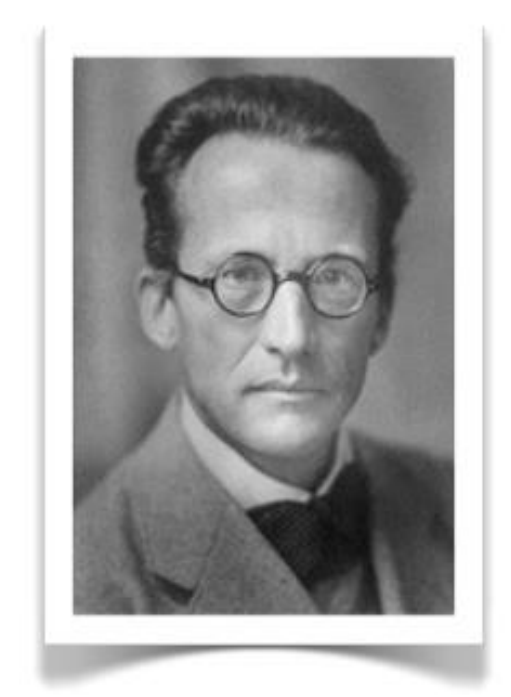
2. Молекулярные магнитные системы

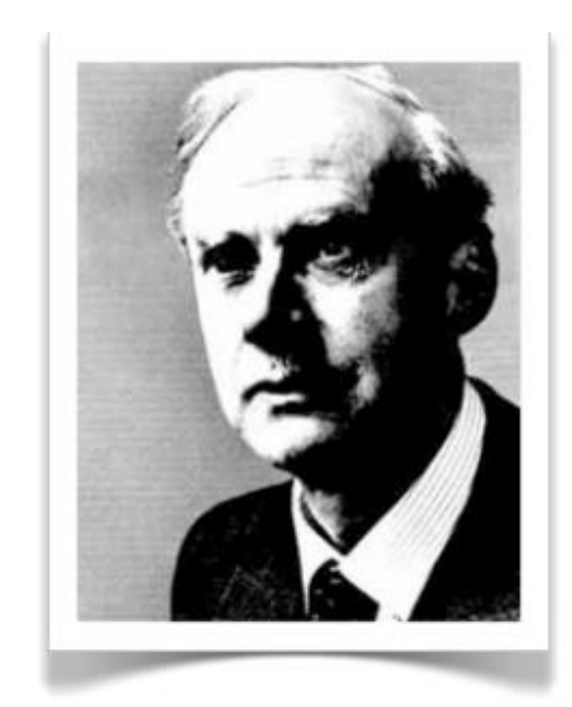
- > Молекулярный магнетизм на микроуровне. Спин-гамильтониан
- Методы расчета параметров спин-гамильтонана
- Общая методика анализа магнитных свойств
- \succ Гетероспиновая ион-радикальная соль [MoMes₂] $^+$ [S $_2$ N $_4$ C $_2$] $^-$

Что позволяет получить квантовая химия?

- Предсказание величин, которые не могут быть измерены в эксперименте (например, короткоживущие интермедиаты, которые не поддаются экспериментальному исследованию)
- Интерпретация результатов экспериментов (например сложные ЯМР, ЭПР спектры, зависимости магнитной восприимчивости от температуры и т.п.)
- Предсказание результатов будущих экспериментов (дизайн материалов - как нужно изменить структуру молекулы чтобы оптимизировать заданное свойство)
- Любые другие задачи, где взаимодействие теории и эксперимента увеличивают эффективность исследований и дают глубокое понимание исследуемых процессов

Уравнения квантовой механики





Эрвин Шредингер

(1926)

Волновая механика

Вернер Гейзинберг

$$\{\mathbf{T} + \mathbf{V}\}\mathbf{C} = E\mathbf{C}$$

Матричная механика (1926)

Поль А.М. Дирак

$$\left\{-\frac{1}{2}\nabla^2 + V(\mathbf{r})\right\}\psi(\mathbf{r}) = E\psi(\mathbf{r}) \qquad \left\{\mathbf{T} + \mathbf{V}\right\}\mathbf{C} = E\mathbf{C} \qquad \left(\begin{array}{cc} V(\mathbf{r}) & c\vec{\sigma}\mathbf{p} \\ c\vec{\sigma}\mathbf{p} & V(\mathbf{r}) - 2c \end{array}\right) \left(\begin{array}{cc} \psi_L(\mathbf{r}) \\ \psi_L(\mathbf{r}) \end{array}\right) = E\left(\begin{array}{cc} \psi_L(\mathbf{r}) \\ \psi_L(\mathbf{r}) \end{array}\right)$$

Релятивистская квантовая механика (1928)

Уравнение Шредингера

Уравнение Шредингера для многочастичной волновой функции $\Psi(\mathbf{x}_1, ..., \mathbf{x}_N, \mathbf{R}_1, ..., \mathbf{R}_M, t) = \Psi(\mathbf{x}, \mathbf{R}, t)$ имеет вид: $\hat{\imath} \frac{\partial}{\partial t} \Psi(\mathbf{x}, \mathbf{R}, t) = \hat{H}(\mathbf{x}, \mathbf{R}, t) \Psi(\mathbf{x}, \mathbf{R}, t)$

 Если гамильтониан не зависит от времени (что будет предполагаться в дальнейшем), мы получим стационарное уравнение Шредингера

$$\widehat{H}(\mathbf{x}, \mathbf{R})\Psi(\mathbf{x}, \mathbf{R}) = \mathrm{E}\Psi(\mathbf{x}, \mathbf{R})$$
, где E — полная энергия

• Полный гамильтониан

$$\widehat{H}(\mathbf{x}, \mathbf{R}) = T_e + T_N + V_{ee} + V_{eN} + V_{NN}$$

Приближение Борна-Оппенгеймера

• Приближение Борна-Оппенгеймера позволяет не учитывать кинетическую энергию ядер $\widehat{H}(\mathbf{x},\mathbf{R}) \to \widehat{H}_{BO}(\mathbf{x},\mathbf{R}) = T_e + V_{ee} + V_{eN} + V_{NN}$ константа для заданного \mathbf{R}

- Обоснование: ядра гораздо тяжелее и медленнее электронов, следовательно электроны всегда успевают подстраиваться под конфигурацию ядер
- Следствие 1: Появляется концепция химической структуры и поверхности потенциальной энергии (энергия как функция ядерных координат)
- Следствие 2: Уравнение Шредингера разделяется на два: первое для электронов при заданной конфигурации ядер, второе для ядер на заданной поверхности потенциальной энергии

$$\widehat{H}_{BO}\Psi(\mathbf{x}|\mathbf{R}) = E(\mathbf{R})\Psi(\mathbf{x}|\mathbf{R})$$

 $\{T_N + E(\mathbf{R})\}\Theta(\mathbf{R}) = \mathfrak{E}\Theta(\mathbf{R})$

Полная волновая функция — это произведение электронной волновой функции и ядерной волновой функции

Многоэлектронная волновая функция

Интерпретация Борна:

$$\left|\Psi(\mathbf{x}\mid\mathbf{R})\right|^2 = \Psi^*(\mathbf{r}_{\!_{1}}\,\sigma_{\!_{1}}\,,...,\mathbf{r}_{\!_{N}}\sigma_{\!_{N}}\mid\mathbf{R})\Psi(\mathbf{r}_{\!_{1}}\,\sigma_{\!_{1}}\,,...,\mathbf{r}_{\!_{N}}\sigma_{\!_{N}}\mid\mathbf{R})$$

• Для заданной конфигурации ядер R квадрат волновой функции дает условную вероятность найти электрон 1 в положении \mathbf{r}_1 со спином σ_1 , электрон 2 в положении \mathbf{r}_2 со спином σ_2 , ...

Принцип Паули:

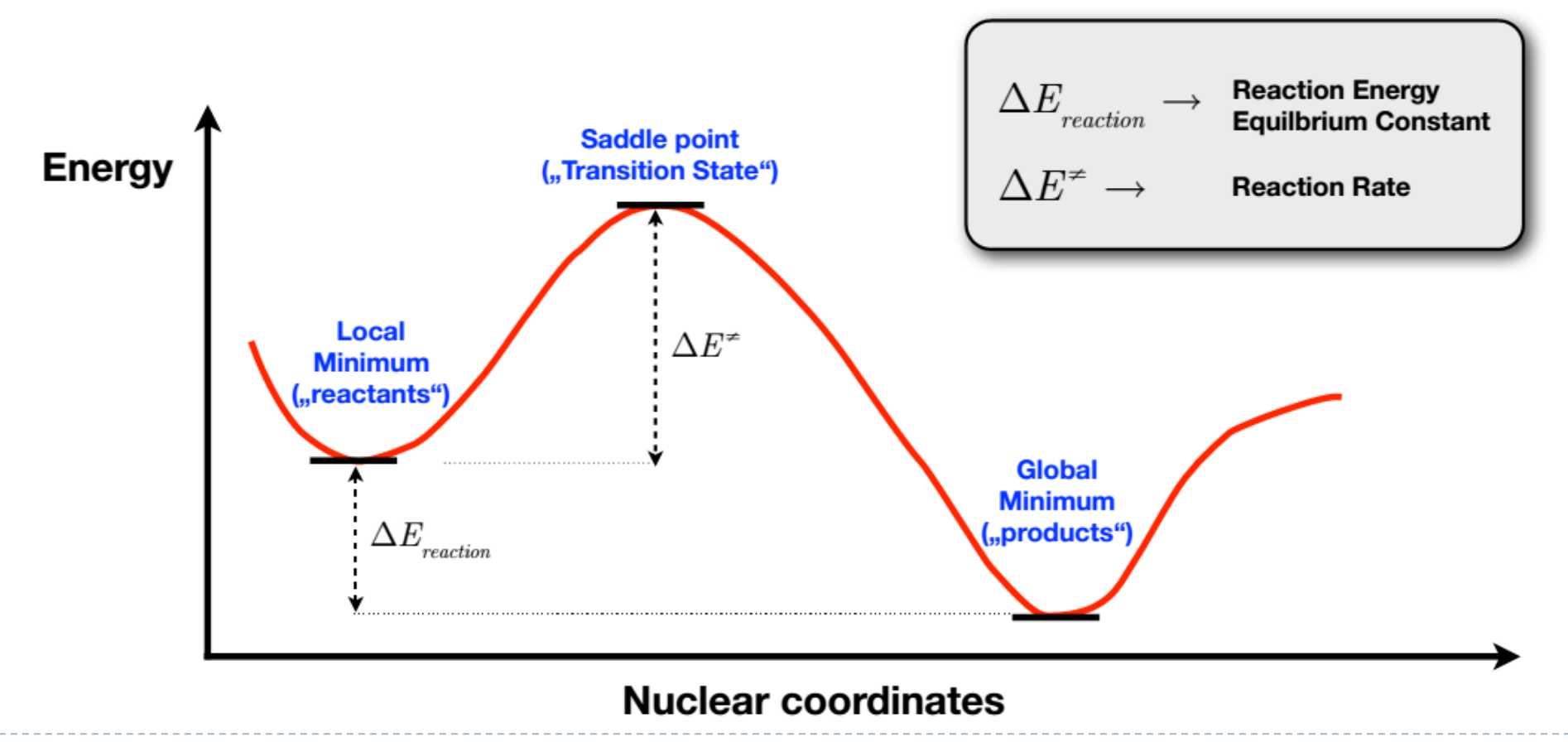
 Антисимметрия относительно перестановки двух любых электронов (электроны – фермионы)

Полная энергия

- ▶ Что такое полная энергия $E(\mathbf{R})$?
 - Энергия необходимая для разделения молекулы на невзаимодействующие электроны и ядра
- ▶ Зачем нам ее знать?
 - В химии и спектроскопии мы измеряем разницу энергий
- Типичные величины
 - Типичные значения для комплексов металла 10 000-100 000 эВ
- Какая точность нам нужна?
 - ▶ Нам нужно рассчитывать разницу энергий с точностью ~1 ккал/моль, то есть 0.05 эВ, другими словами с точностью лучше чем 10⁻⁶

Химия и поверхность потенциальной энергии

 Химические реакции как правило происходят на поверхности потенциальной энергии основного состояния (иногда первых возбужденных). Поэтому определяющим является зависимость энергии от расположения ядерных координат.



Недостатки приближения Борна-Оппенгеймера

Не учитываются:

- Взаимодействие ядер и электронов с внешним электрическим и магнитным полем
- Малые слагаемые, связанные со спинами ядер и электронов
- Размер ядер (ядро точечный заряд)
- Взаимодействия ядерного и электронного движения (эффект Яна-Тэллера)
- Релятивистские эффекты (важны для тяжелых атомов)
- Уравнение Шредингера с гамильтонианом БО не может быть решено даже для системы с двумя электронами. Нужны дальнейшие приближения

Вариационный метод Ритца

lacktriangle Для заданной пробной волновой функции зависящей от некоторого параметра lacktriangle : $\Psi_{trial}(\mathbf{x}|\mathbf{R},\mathbf{p})$

Функционал Ритца:

$$E[\Psi] = \frac{\langle \Psi_{trial} | H | \Psi_{trial} \rangle}{\langle \Psi_{trial} | \Psi_{trial} \rangle}.$$

Для точной волновой функции $E[\Psi]$ - это точная энергия, а для любой другой волновой функции

$$E[\Psi] \ge E_{exact}$$

- Следовательно, мы можем искать минимум $E[\Psi]$ по параметру \mathbf{p} , для того чтобы получить наилучшее приближение в данном анзаце
- Условие стационарной точки:

$$\frac{\partial E[\Psi]}{\partial p_I} = 0$$
 для всех I

Одноэлектронное приближение

- Полную электронную волновую функцию можно представить в виде произведения одноэлектронных волновых функций.
- Однако полная волновая функция должна удовлетворять принципу Паули (быть антисимметричной относительно перестановки двух электронов).
- Детерминант Слэйтера:

$$\Psi_{HF} = \frac{1}{\sqrt{N!}} \left| \begin{array}{cccc} \psi_{_{1}}(\mathbf{x}_{_{1}}) & \psi_{_{1}}(\mathbf{x}_{_{2}}) & \cdots & \psi_{_{1}}(\mathbf{x}_{_{N}}) \\ \psi_{_{2}}(\mathbf{x}_{_{1}}) & \psi_{_{2}}(\mathbf{x}_{_{2}}) & \cdots & \psi_{_{1}}(\mathbf{x}_{_{N}}) \\ \vdots & \vdots & & \vdots \\ \psi_{_{N}}(\mathbf{x}_{_{1}}) & \psi_{_{N}}(\mathbf{x}_{_{2}}) & \cdots & \psi_{_{N}}(\mathbf{x}_{_{N}}) \end{array} \right| \equiv \mid \psi_{_{1}}\psi_{_{2}}...\psi_{_{N}} \mid$$

 Одноэлектронные волновые функции называют молекулярными орбиталями. Именно орбитали варьируют для получения наилучшего приближения истинной волновой функции

Выражение для функционала энергии

$$E = \sum_{i=1}^{N} h_i + \frac{1}{2} \sum_{i=1}^{N} \sum_{j=1}^{N} (I_{ij} - K_{ij})$$

$$E = \sum_{i=1}^{N} h_i + \frac{1}{2} \sum_{i=1}^{N} \sum_{j=1}^{N} (I_{ij} - K_{ij}) \qquad h_i = \left| \psi_i \left| \frac{-\hbar^2}{2m} \nabla_i^2 - \frac{\sum_{\alpha} Z_{i\alpha} e^2}{r_{i\alpha}} \right| \psi_i \right|$$

$$I_{ij} = \iint \psi_i^* (1) \psi_j^* (2) \frac{e^2}{r_{12}} \psi_i (1) \psi_j (2) d\xi_1 d\xi_2$$

Кулоновский интеграл

- Электростатическое взаимодействие между «размазанными» зарядовыми распределениями $|\psi_i|^2$ и $|\psi_i|^2$
- «классическое» взаимодействие
- Всегда положительное

$$K_{ij} = \iint \psi_i^* (1) \psi_j^* (2) \frac{e^2}{r_{12}} \psi_i (2) \psi_j (1) d\xi_1 d\xi_2$$

Обменный интеграл

- Электростатическое взаимодействие "интерферирующей плотности" $\psi_i \psi_i$
- Квантовомеханическое взаимодействие
- Возникает из-за принципа Паули
- Всегда положительное
- Не является обменным взаимодействием

Каноническое уравнение Хартри-Фока

$$\widehat{F} = \widehat{h} + \sum_{j=1}^{N} (\widehat{I}_j - \widehat{K}_j)$$

Оператор Фока

$$\hat{I}_j \psi_i = \int \psi_j^* (2) \psi_i^* (2) rac{e^2}{r_{12}} \psi_i (1) d\xi_2$$
 Кулоновский оператор

$$\widehat{K}_{j}\psi_{i}=\int\!\psi_{j}^{*}\left(2\right)\!\psi_{i}^{*}(2)\frac{e^{2}}{r_{12}}\psi_{j}(1)d\xi_{2}$$
 Обменный оператор

$$\widehat{F}\psi_i = \sum_{j=1}^N \epsilon_{ij} \, \psi_j \stackrel{\varphi_i = \sum_{j=1}^N \mathrm{u}_{ij} \, \psi_j}{\widehat{F}\varphi_i = \epsilon_i \varphi_i}$$
 Каноническое уравнение Хартри-Фока

канонические орбитали ХФ

орбитальные энергии

$$E \neq \sum_{i=1}^{N} \varepsilon_i$$

Ограниченный (RHF) и неограниченный (UHF) методы Хартри-Фока

$$\psi_i(\xi_i) = \begin{cases} \phi_i^{\alpha}(\vec{r}_i)\alpha \\ \phi_i^{\beta}(\vec{r}_i)\beta \end{cases}$$

$$p$$
 электронов α q электронов β

$$\widehat{F}^{\alpha} = \widehat{h} + \sum_{j=1}^{p} (\widehat{I}_{j}^{\alpha} - \widehat{K}_{j}^{\alpha}) + \sum_{j=1}^{q} I_{j}^{\beta}$$

$$\widehat{F}^{\beta} = \widehat{h} + \sum_{j=1}^{q} \left(\widehat{I}_{j}^{\beta} - \widehat{K}_{j}^{\beta} \right) + \sum_{j=1}^{p} I_{j}^{\alpha}$$

$$\widehat{F}^{\alpha} \varphi_i^{\alpha} = \varepsilon_i^{\alpha} \varphi_i^{\alpha}$$

$$E = \sum_{i=1}^{p} h_i^{\alpha} + \sum_{i=1}^{q} h_i^{\beta} + \frac{1}{2} \sum_{i=1}^{p} \sum_{j=1}^{p} \left(I_{ij}^{\alpha \alpha} - K_{ij}^{\alpha \alpha} \right) + \frac{1}{2} \sum_{i=1}^{q} \sum_{j=1}^{q} \left(I_{ij}^{\beta \beta} - K_{ij}^{\beta \beta} \right) + \sum_{i=1}^{p} \sum_{j=1}^{q} I_{ij}^{\alpha \beta}$$

Метод Хартри-Фока-Рутаана

$$\begin{split} \varphi_i(\vec{r}) &= \sum_{p=1}^m c_{ip} \, \chi_p(\vec{r}) \\ \hat{F} &= \hat{h} + \sum_{j=1}^n \left(2\hat{I}_j - \widehat{K}_j \right) \\ E &= \sum_{p,q} H_{pq} \, P_{pq} + \frac{1}{2} \sum_{p,q,r,s} P_{pq} \, L_{pq,rs} P_{rs} \\ H_{pq} &= \left\langle \chi_p \big| \hat{h} \big| \chi_q \right\rangle \\ P_{pq} &= 2 \sum_{i=1}^n c_{ip} \, c_{iq} \\ L_{pq,rs} &= \left\langle \chi_p \chi_q \parallel \chi_r \chi_s \right\rangle - \frac{1}{2} \left\langle \chi_p \chi_s \parallel \chi_r \chi_q \right\rangle \end{split}$$

Метод Хартри-Фока-Рутаана

Ограниченный метод:

$$\widehat{F} = \widehat{h} + \sum_{j=1}^{n} (2\widehat{I}_j - \widehat{K}_j) \longrightarrow F_{pq} = H_{pq} + L_{pq,rs} P_{rs}$$

$$\sum_{q}^{n}F_{pq}\,C_{iq}=arepsilon_{i}\sum_{q=1}^{n}S_{pq}\,C_{iq}$$
 $S_{pq}=\left\langle \chi_{p}|\chi_{q}
ight
angle$ интеграл перекрывания

$$\bar{\bar{F}}\bar{C}_i = \varepsilon_i \bar{\bar{S}}\bar{C}_i \longrightarrow det |\bar{\bar{F}} - \varepsilon_i \bar{\bar{S}}| = 0 \longrightarrow \bar{\bar{F}} = \bar{\bar{F}}(C_i)$$

Самосогласованное поле (SCF)

Метод Хартри-Фока-Рутаана

Неограниченный метод:

$$\phi_{i}^{(\alpha/\beta)} = \sum_{p=1}^{m} c_{ip}^{(\alpha/\beta)} \chi_{p}(\vec{r}) \qquad \left(\hat{h} + \sum_{j=1}^{n_{\alpha}} (\hat{I}_{j}^{\alpha} - \widehat{K}_{j}^{\alpha}) + \sum_{j=1}^{n_{\beta}} I_{j}^{\beta}\right) \phi_{i}^{\alpha} = \varepsilon_{i}^{\alpha} \phi_{i}^{\alpha}$$

$$\left(\hat{h} + \sum_{j=1}^{n_{\beta}} (\hat{I}_{j}^{\beta} - \widehat{K}_{j}^{\beta}) + \sum_{j=1}^{n_{\alpha}} I_{j}^{\alpha}\right) \phi_{i}^{\beta} = \varepsilon_{i}^{\beta} \phi_{i}^{\beta}$$

$$P_{rs}^{\alpha} = \sum_{j=1}^{n_{\alpha}} c_{jr}^{\alpha} c_{js}^{\alpha}, \qquad P_{rs}^{\beta} = \sum_{j=1}^{n_{\beta}} c_{jr}^{\beta} c_{js}^{\beta}, \qquad P_{rs} = P_{rs}^{\alpha} + P_{rs}^{\beta}$$

$$ar{ar{F}}^{lpha}ar{ar{C}}_{i}^{lpha}=arepsilon_{i}^{lpha}ar{ar{ar{S}}}ar{ar{C}}_{i}^{lpha} \qquad detig|ar{ar{F}}^{lpha}-arepsilon_{i}^{lpha}ar{ar{ar{S}}}ig|=0 \qquad ar{ar{F}}^{lpha}=ar{ar{F}}^{lpha}(C_{i}^{lpha})$$

Самосогласованное поле (SCF)

Базисные функции

$$\phi_i(\vec{r}) = \sum_{p=1}^m c_{ip} \, \chi_p(\vec{r})$$

$$\chi_{nlm} = Ar^{n-1}e^{-\rho_A r_A}J_{lm}(\theta, \phi)$$
 STO (Slater-type orbitals)

$$\chi_i = \sum_i d_i g_i(\bar{r}), g_i = Ax^l y^m z^n e^{-\zeta_i r^2}$$
 GTO (Gaussian-type orbitals)

https://bse.pnl.gov/bse/portal

Недостатки метода Хартри-Фока

За экспериментальное значение взята сумма десяти потенциалов ионизации

▶ Плюсы: ХФ дает 99.8% полной энергии

- ▶ Небольшая ошибка ХФ на самом деле имеет значение 319 ккал/моль. В химии нужна точность до 1 ккал/моль.
- Нам нужны лишь относительные значения энергий

Пост-Хартри-Фоковские методы

$$|\Psi\rangle = |\Psi_0\rangle + \sum_{ia} C_a^i |\Psi_i^a\rangle + \frac{1}{4} \sum_{ijab} C_{ab}^{ij} |\Psi_{ij}^{ab}\rangle + \frac{1}{36} \sum_{ijkabc} C_{abc}^{ijk} |\Psi_{ijk}^{abc}\rangle + \cdots$$
 2 типа корреляций: статическая и динамическая

2 типа корреляций: статическая и динамическая

Динамическая корреляция:

- (1) Метод конфигурационного взаимодействия СІ (configuration interaction)
- (2) МР (теория возмущений Меллера Плессета)
- (3) Метод связанных кластеров СС (Coupled Cluster)

Статическая корреляция: CASSCF (complete active space SCF)

Теория функционала плотности (DFT)

$$\rho(\vec{r}_1) = N \int \psi^*(\xi_1, \dots, \xi_N) \psi(\xi_1, \dots, \xi_N) d\xi_2 \dots d\xi_N d\sigma_1$$

Электронная плотность

$$\rho_2(\vec{r}_1, \vec{r}_2) = N(N-1) \int \psi^*(\xi_1, \dots, \xi_N) \psi(\xi_1, \dots, \xi_N) d\xi_3 \dots d\xi_N d\sigma_1 d\sigma_2$$

Парная функция плотности

$$P_1(\vec{r}_1, \vec{r}'_1) = N \int \psi^*(\vec{r}_1, \sigma_1, \xi_2, \dots, \xi_N) \psi(\vec{r}'_1, \sigma_1, \xi_2, \dots, \xi_N) d\xi_2 \dots d\xi_N d\sigma_1$$

Матрица плотности 1-го порядка

$$\begin{split} E &= \left< \psi \middle| \widehat{H} \middle| \psi \right> = \int \left(-\frac{\hbar^2}{2m} \nabla^2 \right) P_1(\vec{r}_1, \vec{r}_1') dr_1 + \int \nu \left(\vec{r} \right) \rho(\vec{r}) d\vec{r} \\ &+ \frac{1}{2} \int \frac{e^2 \rho_2(\vec{r}_1, \vec{r}_2)}{r_{12}} d\vec{r}_1 \vec{r}_2 \quad \text{, где} \quad \nu(\vec{r}) = - \sum_{\alpha} \frac{Z_{\alpha} e^2}{\left| \vec{r} - \vec{R}_{\alpha} \right|} \end{split}$$

Теоремы Хоэнберга-Кона

 Точная волновая функция и энергия N-электронов может быть представлена как функционал электронной плотности

$$\rho(r) \to N, V_{eN} \to H_{BO} \to E, \Psi$$

- Если бы мы знали истинный функционал энергии, то напрямую бы определили истинную энергию из электронной плотности, но мы его не знаем
- 1. Первая теорема Хоэнберга-Кона говорит, что существует универсальный функционал E[
 ho]
- 2. Вторая теорема Хоэнберга-Кона вариационный принцип: для любой пробной $\rho' \ E[\rho'] \geq E[\rho]$

Теория функционала плотности (DFT)

$$E[\rho] = T[\rho] + V_{eN}[\rho] + V_{NN} + J[\rho] + E'_{xc}[\rho]$$

$$J[
ho] = rac{1}{2} \int rac{
ho(ec{r}_1)
ho(ec{r}_2)}{r_{12}} dec{r}_1 dec{r}_2$$
 - Кулоновская энергия

$$E'_{xc}[
ho] = K[
ho] + C[
ho]$$
 - Обменная и корреляционная энергии (неизвестны)

$$V_{eN}[
ho] = -\sum_A Z_A \int rac{
ho(ec{r})}{r_{
m iA}} dec{r}$$
 - Электрон-ядерное притяжение

Приближения Кона-Шема

Кон и Шем рассмотрели гипотетическую систему невзаимодействующих электронов, которая имеет ту же плотность, что и реальная система

Волновая функция такой системы описывается одним детерминантом

Слэйтера

$$\rho_{KS}(\vec{r}) = \sum_{i} \int |\psi_{i}(\mathbf{x})|^{2} ds \equiv \rho_{exact}(\vec{r})$$

$$E[\rho] = T_s[\rho] + V_{eN}[\rho] + V_{NN} + J[\rho] + E_{xc}[\rho]$$

$$E_{xc}[\rho] = E'_{xc}[\rho] + T[\rho] - T_s[\rho]$$

$$v_{s}(\vec{r}) = v(\vec{r}) + \int \frac{\rho(\vec{r}')}{|\vec{r} - \vec{r}'|} d\vec{r}' + v_{xc}[\rho] \qquad v_{xc}[\rho] = \frac{\delta E_{xc}}{\delta \rho(\vec{r})}$$

$$\hat{h}_{\scriptscriptstyle S} \varphi_i = \{ -rac{1}{2}
abla^2 +
u_{\scriptscriptstyle S}(ec{r}) \} \varphi_i = arepsilon_i \varphi_i$$
 - уравнения Кона-Шема

Виды функционалов

BP86 – Becke '88 обменная часть и Perdew '86 корреляционная часть
BLYP – Becke '88 обменная часть и Lee-Yang-Parr корреляционная часть

В1LYР – 25% ХФ обменная часть

ВЗГУР – 20% ХФ обменная часть

B2PLYP – смесь MP2 и DFT

Содержание

1. Методы квантовой химии

- > Уравнение Шредингера
- Приближение Борна-Оппенгеймера
- Вариационный метод Ритца
- > Одноэлектронное приближение
- Решение уравнений Хартри-Фока
- Метод Харти-Фока-Рутана
- Пост-Хартри-Фоковсие методы
- Теория функционала плотности
- Теоремы Хоэнберга-Кона
- Уравнения Кона-Шема

2. Молекулярные магнитные системы

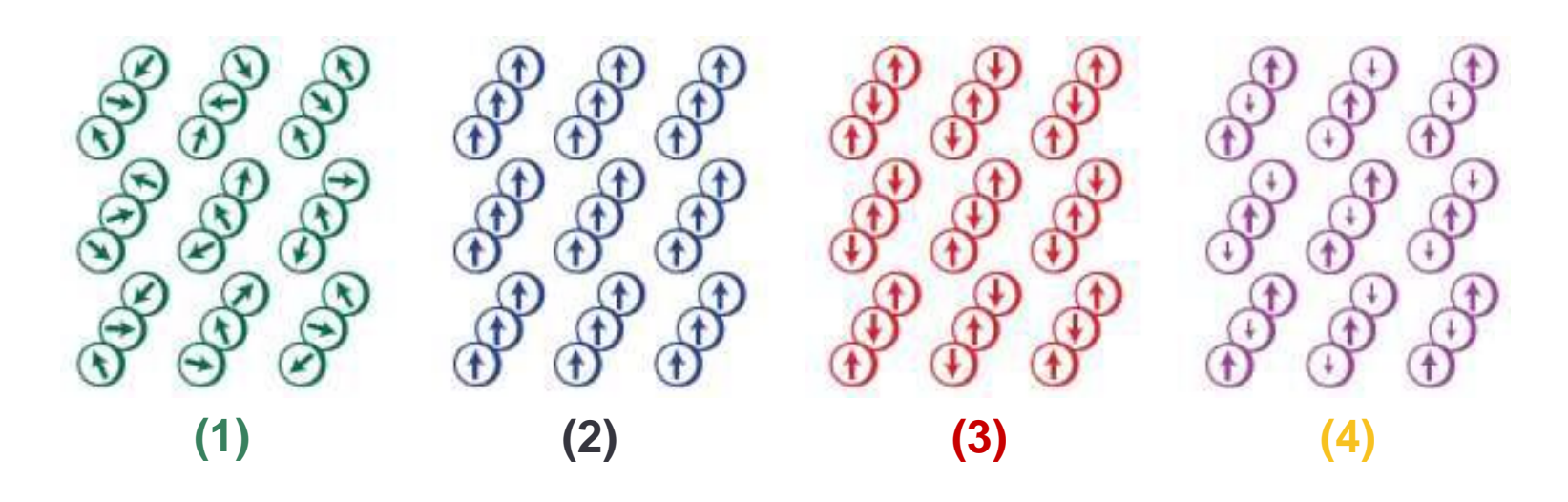
- > Молекулярный магнетизм на микроуровне. Спин-гамильтониан
- Методы расчета параметров спин-гамильтонана
- Общая методика анализа магнитных свойств
- \succ Гетероспиновая ион-радикальная соль [MoMes₂] $^+$ [S $_2$ N $_4$ C $_2$] $^-$

Молекулярный магнетизм

- Ферромагнитные материалы на основе органических радикалов
 - Y.V. Korshak, T.V. Medvedeva, A.A. Ovchinnikov, V. N. Spector, "Organic polymer ferromagnet," *Nature*, 1987
- Гетероспиновые ион-радикальные соли
 - Arr Соли $[M(C_5Me_5)_2]^{-+}[TCNE]^{--}$
 - V(TCNE): J.M. Manriquez et al., "A room-temperature molecular/organic-based magnet". Science. 1991
- Анизотропные одномолекулярные магнетики
 - Mn₁₂: R. Sessoli et al. "Magnetic bistability in a metal-ion cluster". Nature, 1993
- Термо- и фотопереключаемые магнетики
 - O. Sato, "Photoinduced magnetization of a cobalt-iron cyanide."
 Science, 1996

B = μH, B – магнитная индукция, H – напряженность магнитного поля

Все вещества делятся на **диамагнетики** (μ <1), **парамагнетики** (1) (μ >1, |J| << kT) и **ферромагнетики** (2) (μ может значительно превышать 1 и зависит от величины внешнего магнитного поля, J > 0, |J| >> kT), **антиферромагнетики** (3) ($S_1 = S_2, J < 0, |J| >> kT$), ферримагнетики (4) ($S_1 \neq S_2, J < 0, |J| >> kT$)

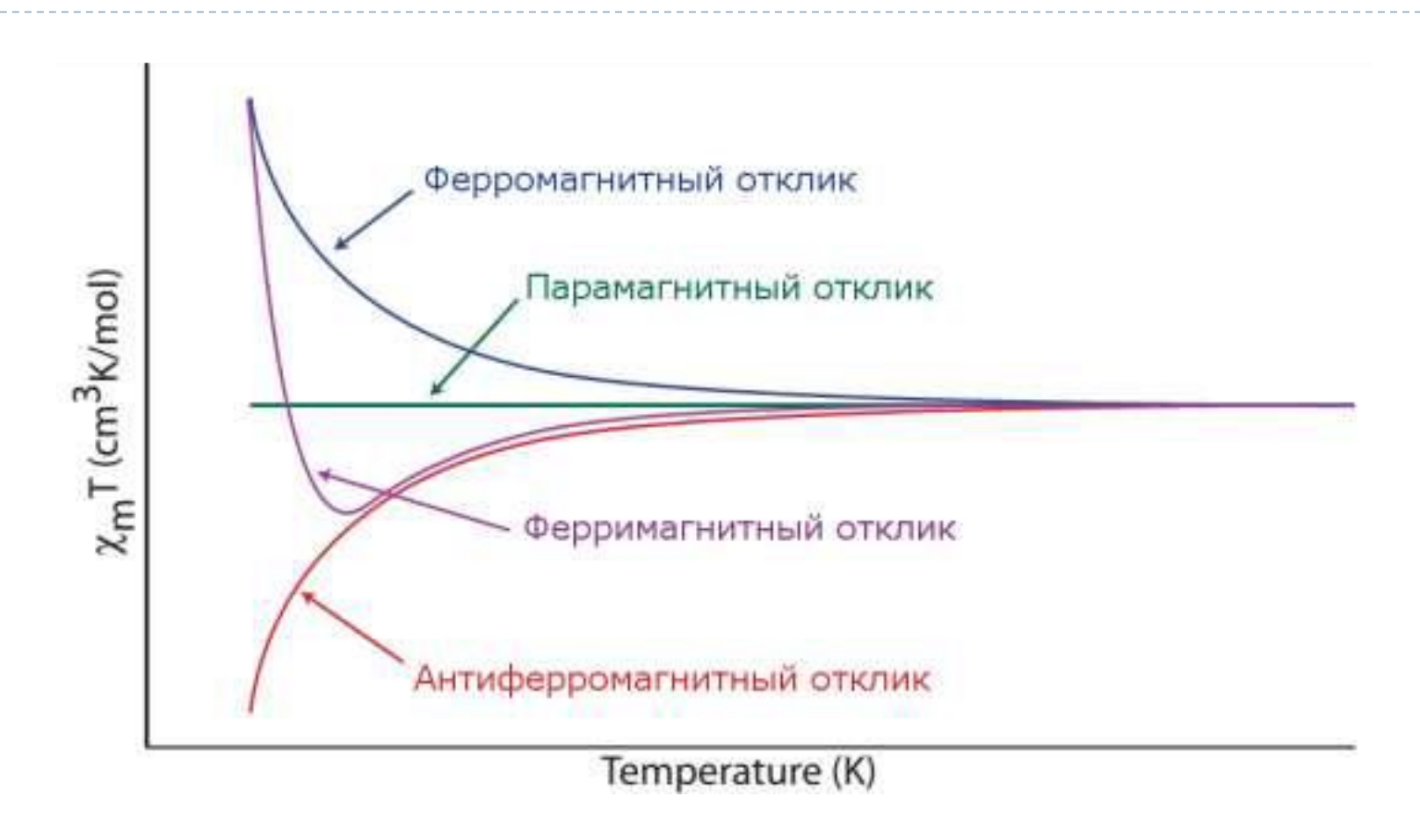


Закон Кюри:

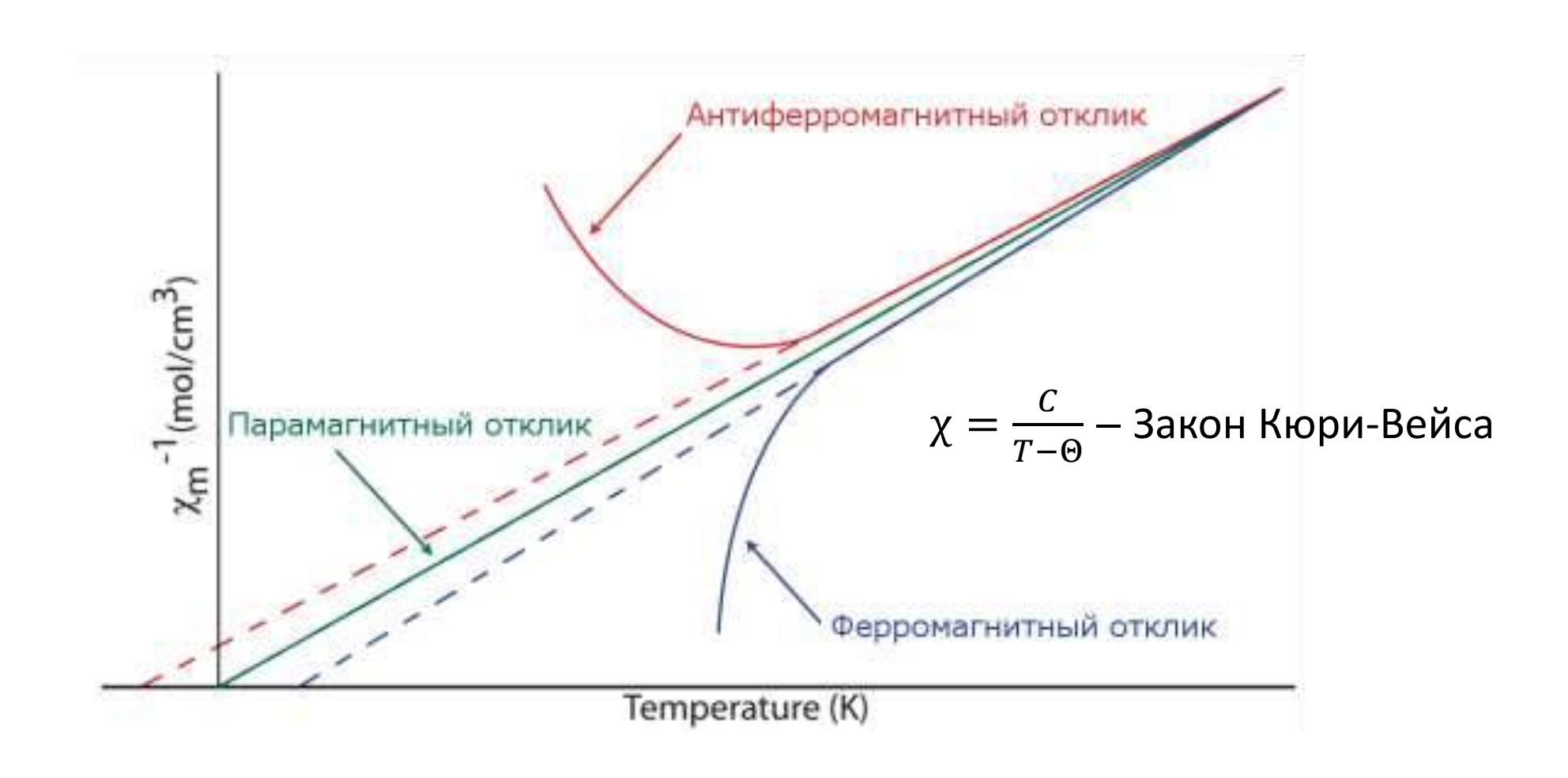
М = СН/Т, где М — получаемая намагниченность материала, Н — приложенное магнитное поле, С — постоянная Кюри

$$\chi = \frac{\partial M}{\partial H}$$
, χ — магнитная восприимчивость

$$\chi = C/T$$
 – в идеальном парамагнетике



Температурная зависимость молярной магнитной восприимчивости, умноженной на температуру, для идеальных магнетиков



Температурная зависимость обратной магнитной восприимчивости идеальных магнетиков

Формула Ван-Флека

 $\mu_n = -rac{\partial E_n}{\partial H}$ — намагниченность для n-го уровня энергии

$$M=rac{N\sum_n \left(-rac{\partial E_n}{\partial H}
ight) \exp(-rac{E_n}{kT})}{\sum_n \exp(-rac{E_n}{kT})}$$
 — макроскопическая молярная намагниченность

$$E_n = E_n^{(0)} + E_n^{(1)}H + E_n^{(2)}H^2 + \cdots$$

$$\mu_n = -E_n^{(1)} - 2E_n^{(2)}H - \cdots$$

$$M = \frac{N \sum_{n} (-E_{n}^{(1)} - 2E_{n}^{(2)} H) \left(1 - \frac{E_{n}^{(1)} H}{kT}\right) \exp(-\frac{E_{n}^{(0)}}{kT})}{\sum_{n} \left(1 - \frac{E_{n}^{(1)} H}{kT}\right) \exp(-\frac{E_{n}^{(0)}}{kT})}$$

Формула Ван-Флека

$$M = \frac{NH \sum_{n} \left(\frac{E_{n}^{(1)2}}{kT} - 2E_{n}^{(2)}\right) exp(-\frac{E_{n}^{(0)}}{kT})}{\sum_{n} exp(-\frac{E_{n}^{(0)}}{kT})}$$

$$\chi = \frac{N \sum_{n} \left(\frac{E_{n}^{(1)2}}{kT} - 2E_{n}^{(2)}\right) exp(-\frac{E_{n}^{(0)}}{kT})}{\sum_{n} exp(-\frac{E_{n}^{(0)}}{kT})}$$

Феноменологический спин-гамильтониан

$$\widehat{H} = \widehat{H}_{ZE} + \widehat{H}_{ex} + \widehat{H}_{ZFS}$$

$$\widehat{H}_{ZE} = \sum_{i} g\beta \vec{S}_{i} \vec{B} \qquad \widehat{H}_{ex} = -2 \sum_{i>j} J_{ij} \vec{S}_{i} \vec{S}_{j}$$

$$\widehat{H}_{ZFS} = \sum_{i} D_{i} \left(S_{zi}^{2} - \frac{1}{3} S_{i} (S_{i} + 1) + \frac{E_{i}}{D_{i}} (S_{xi}^{2} - S_{yi}^{2}) \right)$$

Методы расчета параметров спин-гамильтонана

Параметр обменного взаимодействия (J)

Для двух парамагнитных частиц со спином
$$S_1$$
 и $S_2 \leq S_1$ $S = S_1 + S_2, S_1 + S_2 - 1, \dots, S_1 - S_2$

строго:

 $J = -\frac{1}{2S}[E(S) - E(S-1)]$ CASSCF, MRCI

упрощенно:

$$J = -\frac{E_{HS} - E_{BS}}{\langle S^2 \rangle_{HS} - \langle S^2 \rangle_{BS}}$$

BS DFT, HF

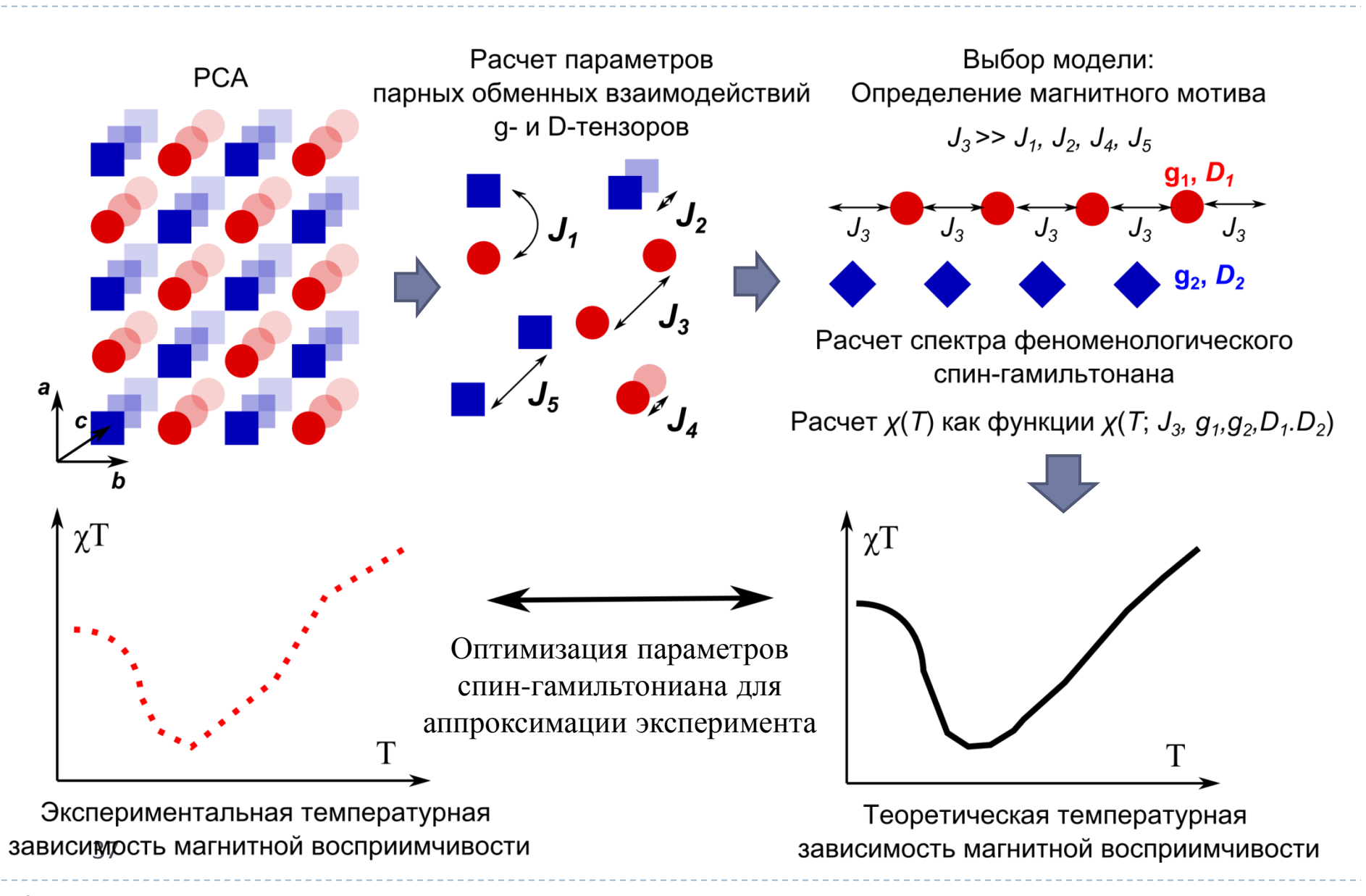
- g-тензор и D-тензор (расщепление в нулевом поле)
 - Учет спин-спинового и спин-орбитального взаимодействия

CI или PT

Скалярные релятивистские поправки

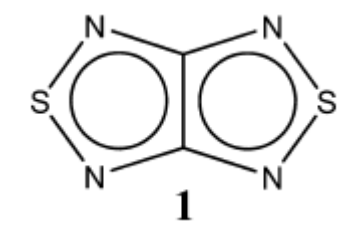
DKH, ZORA

Общая методика анализа магнитных свойств



Гетероспиновая ион-радикальная соль сера-азотных гетероциклических анион-радикалов с комплексами молибдена

1,2,5-тиадиазоло-3,4-с-1,2,5-тиадиазол (1)



Синтез соли $[MoMes_2]^+[1]^-$

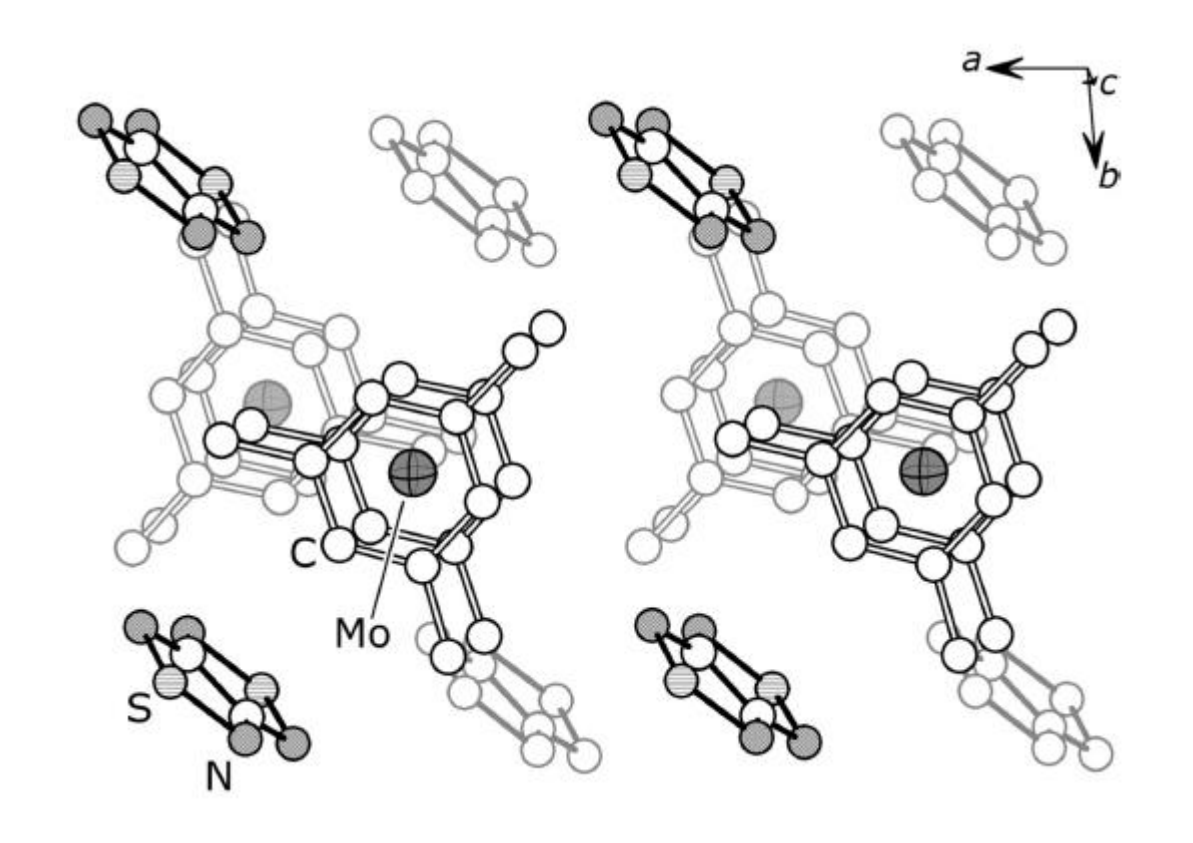
$$S_{1} = \frac{1}{2} = \frac{1}{2}$$

$$S_{1} = \frac{1}{2}$$

$$S_{1} = \frac{1}{2}$$

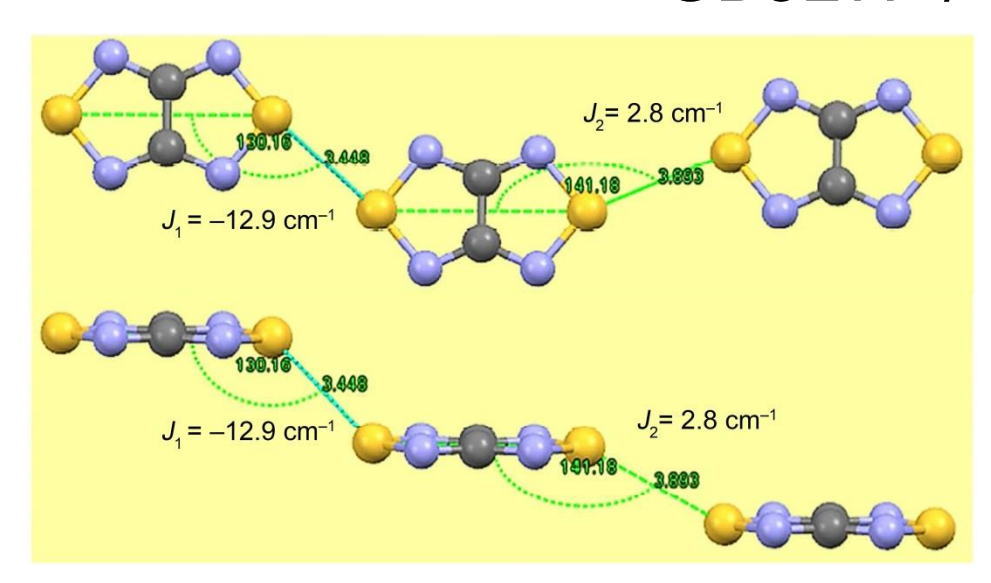
Гетероспиновая ион-радикальная соль сера-азотных гетероциклических анион-радикалов с комплексами молибдена

Кристаллическая структура соли



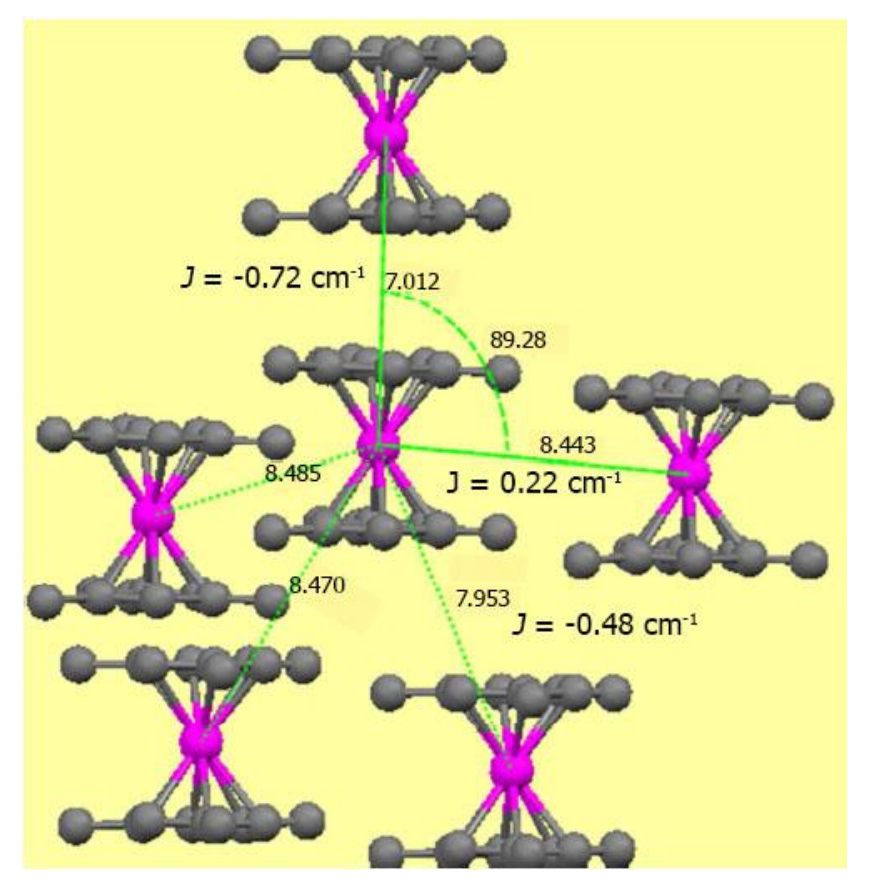
Магнитные мотивы соли $[MoMes_2]^+[1]^-$

UB3LYP / def2-TZVP



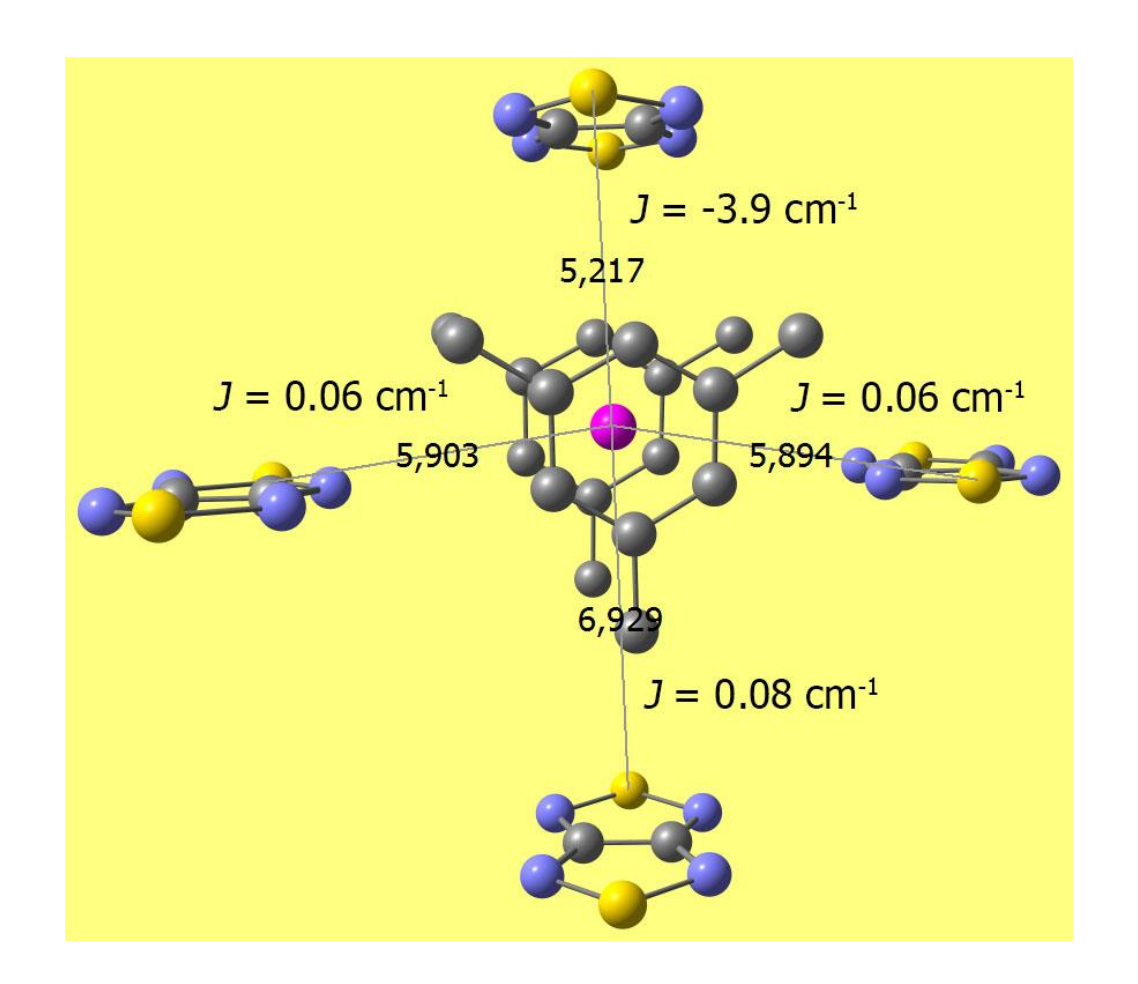
S…S AF и FM взаимодействия

$$J = -\frac{E_{HS} - E_{BS}}{\langle S^2 \rangle_{HS} - \langle S^2 \rangle_{BS}}$$



Mo...Mo AF и FM взаимодействия

Магнитные мотивы соли $[MoMes_2]^+[1]^-$

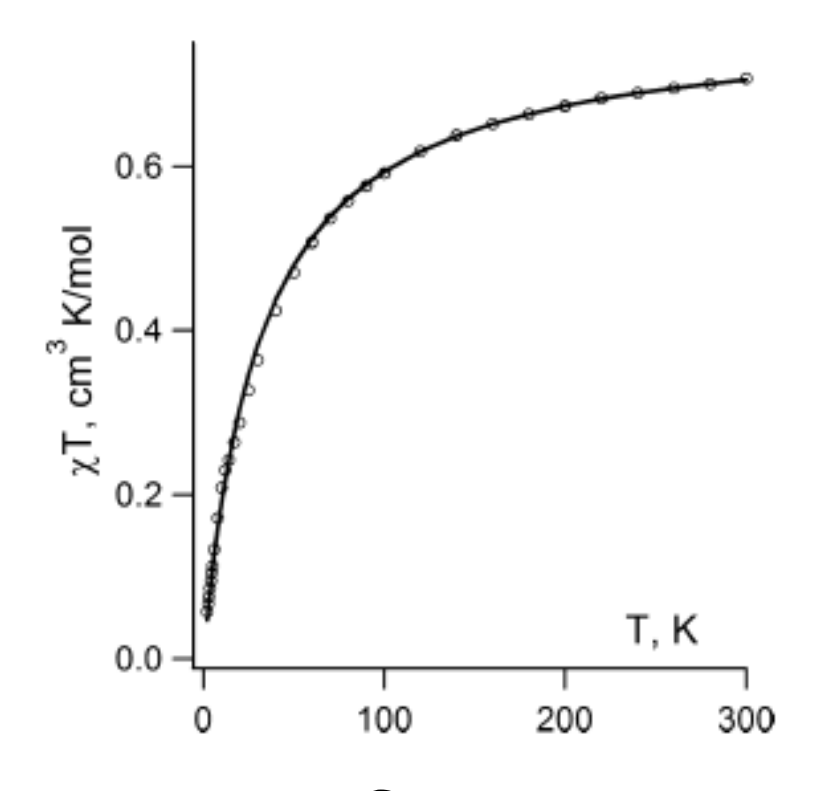


Mo...S

$$J = -\frac{1}{2S} [E(S) - E(S-1)]$$

CASSCF(6,6) / NEVPT2 / def2-TZVP

Температурная зависимость магнитной восприимчивости. g-тензор [MoMes₂]⁺



[MoMes₂]+, CASSCF(9,9)/RASSI

	g_{x}	g_{y}	g_z	g_{iso}
ground doublet	2.007	2.001	1.966	1.991
second doublet	1.686	1.688	3.836	2.403

$$\chi = \frac{C}{T - \Theta}$$
, $C = 0.78 \ cm^3 \ K \ mol^{-1}$, $\Theta = -31.2 \ \pm 0.2 \ K$

Заключение

- Методы квантовой химии эффективно дополняют эксперимент и позволяют анализировать магнитные свойства магнетиков на молекулярном уровне
- Проведен анализ синтезированной соли с серо-азотными анион-радикалами и комплексами молибдена
- Установлены магнитные мотивы соли. Показано, что магнитные взаимодействия между анион-радикалами и молибденовыми центрами являются как антиферромагнитными, так и ферромагнитными.
- Определены g-тензоры для основного и первого возбужденного состояний [MoMes₂]⁺. Показано, что температурная зависимость магнитной восприимчивости описывается законом Кюри-Вейса.

Спасибо за внимание!